

Тема 4. РЕГУЛЯРНЫЕ ЛИНИИ ПЕРЕДАЧИ ЭЛЕКТРОМАГНИТНОЙ ЭНЕРГИИ

Лекция №1 (9). Уравнения электродинамики для направляемых волн

1. Уравнения электродинамики для направляемых волн.
2. Полые волноводы.

1 Уравнения электродинамики для направляемых волн

Для передачи электромагнитной волны от источника к пункту назначения используются *линии передачи (направляющие системы (НС). Волна направляемая)*.

Пример НС – кабель, соединяющий телевизор с антенной.

НС называется *регулярной*, если она прямолинейна и ее поперечное сечение неизменно по длине.

Основное требование к НС - максимальная эффективность передачи энергии при экономической целесообразности линии.

Универсальных направляющих систем, удовлетворяющих данному требованию во всех диапазонах частот, не существует.

Основные положения электродинамики для НС

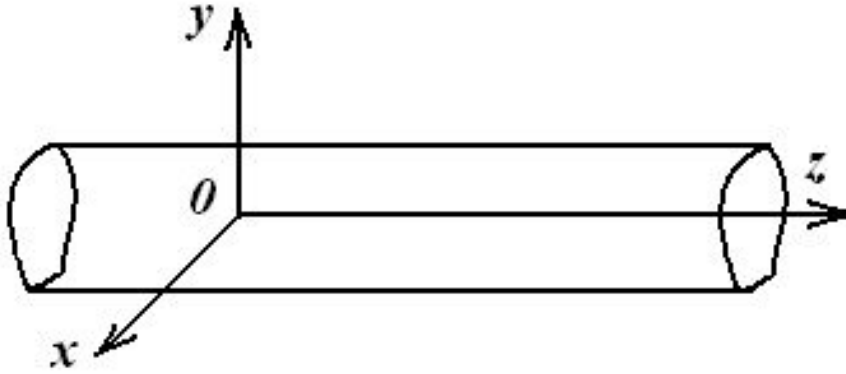


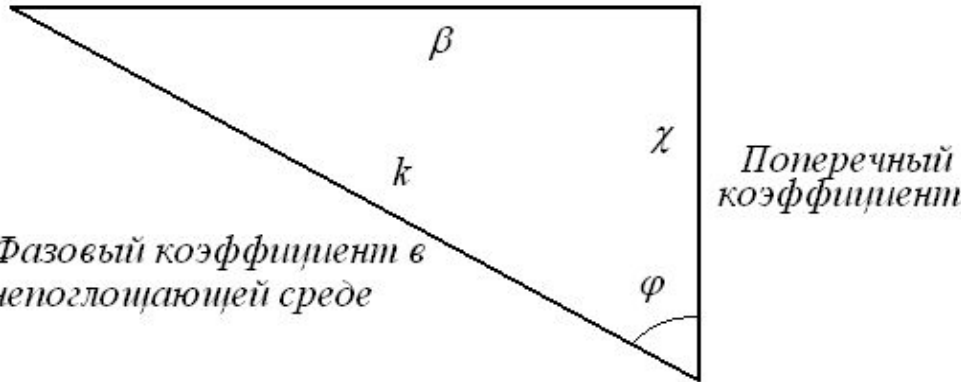
Рисунок 1.1 – Геометрия НС

Соотношения для описания комплексных амплитуд поля в системе координат $0uvz$:

$$\vec{E}(u, v, z) = \vec{E}_0(u, v) \exp(\pm \gamma z), \quad \vec{H}(u, v, z) = \vec{H}_0(u, v) \exp(\pm \gamma z), \quad (1.1)$$

$\exp(\pm \gamma z)$ - множитель бегущей волны;
 γ - коэффициент распространения волны
(в среде без потерь $\gamma = i\beta$).

Фазовый коэффициент в
регулярной линии



Фазовый коэффициент в
непоглощающей среде

Поперечный
коэффициент

уравнение коэффициентов:

Рисунок 1.2 – Разложение
фазового коэффициента
на составляющие

$$k^2 = \chi^2 + \beta^2 . \quad (1.2)$$

Уравнения Гельмгольца с учетом (1.2):

$$\nabla_{\perp}^2 E_z + \chi^2 E_z = 0 , \quad \nabla_{\perp}^2 H_z + \chi^2 H_z = 0 , \quad (1.3)$$

Уравнения для поперечных составляющих полей:

$$\begin{aligned} \vec{E}_{\perp} &= -\frac{\gamma}{\chi^2} \text{grad}_{\perp} E_z - \frac{i\omega\tilde{\mu}_a}{\chi^2} [\text{grad}_{\perp} H_z, \vec{i}_z] , \\ \vec{H}_{\perp} &= -\frac{\gamma}{\chi^2} \text{grad}_{\perp} H_z + \frac{i\omega\tilde{\epsilon}_a}{\chi^2} [\text{grad}_{\perp} E_z, \vec{i}_z] . \end{aligned} \quad (1.4)$$

Знак \perp показывает, что производные берутся только по поперечным координатам.

Анализ режимов работы НС на основе уравнения коэффициентов

Таблица 1.1 - Типы решений уравнения $\beta = \sqrt{k^2 - \chi^2}$ и их физическая трактовка

Соотношение подкоренных функций	Тип продольного волнового числа	Колебания	Режим работы линии
$k > \chi$	Вещественное число	Бегущие волны	Докритический
$k = \chi$	Нуль	Распространение волн прекращается	Критический
$k < \chi$	Мнимое число	Нераспространяющиеся колебания	Закритический (режим отсечки). Волновод как реактивная нагрузка

Для критического режима:

Критическая частота:

$$f_{\text{кр}} = \frac{\omega_{\text{кр}}}{2\pi} = \frac{k}{2\pi \sqrt{\tilde{\varepsilon}_a \tilde{\mu}_a}} = \frac{\chi}{2\pi \sqrt{\tilde{\varepsilon}_a \tilde{\mu}_a}}, \quad (1.6)$$

Критическая длина волны:

$$\lambda_{\text{кр}} = 2\pi / \chi, \quad (1.7)$$

Условие распространения волн в волноводе:

$$\lambda_{\text{в}} < \lambda_{\text{кр}} \quad \text{или} \quad f > f_{\text{кр}}$$

Дисперсионные характеристики волновода

С учетом (1.7) выражение для β принимает вид:

$$\beta = \sqrt{k^2 - \chi^2} = \sqrt{k^2 - \left(\frac{2\pi}{\lambda_{кр}}\right)^2} = k \sqrt{1 - \left(\frac{\lambda_0}{\lambda_{кр}}\right)^2}, \quad (1.8)$$

λ_0 - длина волны в свободном пространстве.

Дисперсионная характеристика волновода:

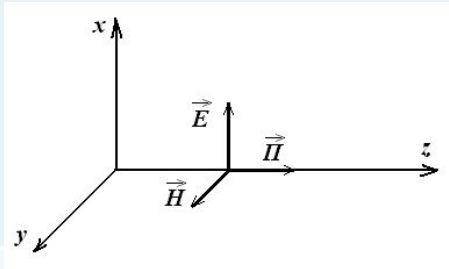
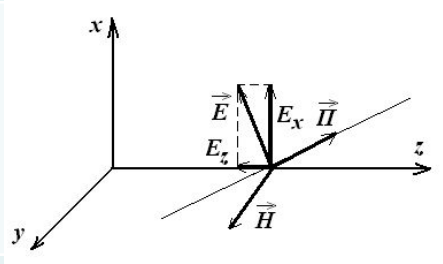
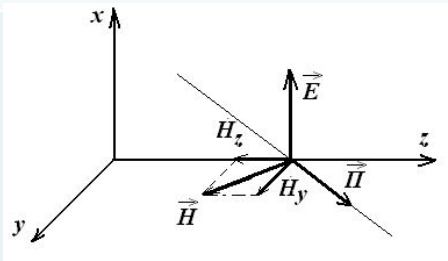
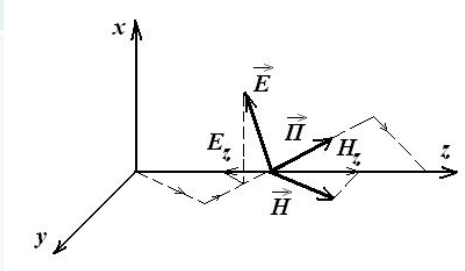
$$\lambda_{в} = \lambda_0 / \sqrt{1 - \left(\frac{\lambda_0}{\lambda_{кр}}\right)^2}, \quad (1.9)$$

Длина волны в волноводе всегда больше длины волны в неограниченном пространстве при той же частоте.

Фазовая скорость в волноводе:

$$v_{\phi} = c / \sqrt{1 - \left(\frac{\lambda_0}{\lambda_{кр}}\right)^2}. \quad (1.10)$$

Таблица 1.2 – Классификация типов волн

Тип волны	Продольные составляющие	Иллюстрация
Т-волны (ТЕМ-волны)	$E_z = 0$ $H_z = 0$	
Е-волны (ТМ-волны)	$E_z \neq 0$ $H_z = 0$	
Н-волны (ТЕ-волны)	$E_z = 0$ $H_z \neq 0$	
Гибридные волны (EH- или HE-)	$E_z \neq 0$ $H_z \neq 0$	

2 Полые волноводы

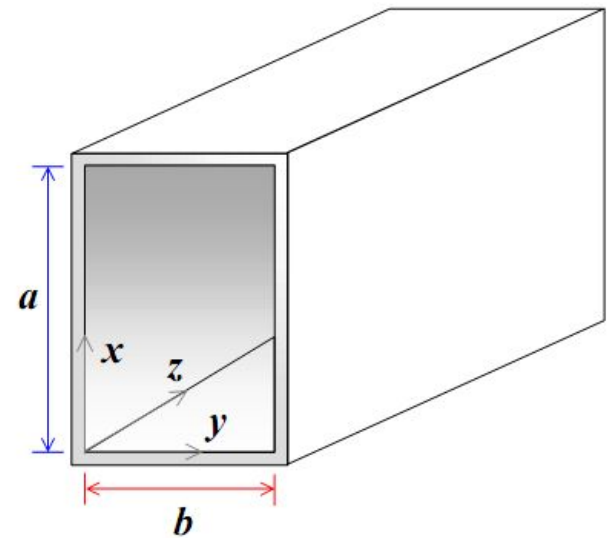
Прямоугольный волновод – металлическая труба с прямоугольным поперечным сечением.

Тип распространяющейся волны – либо E - либо H -. T -волна не может распространяться в принципе.

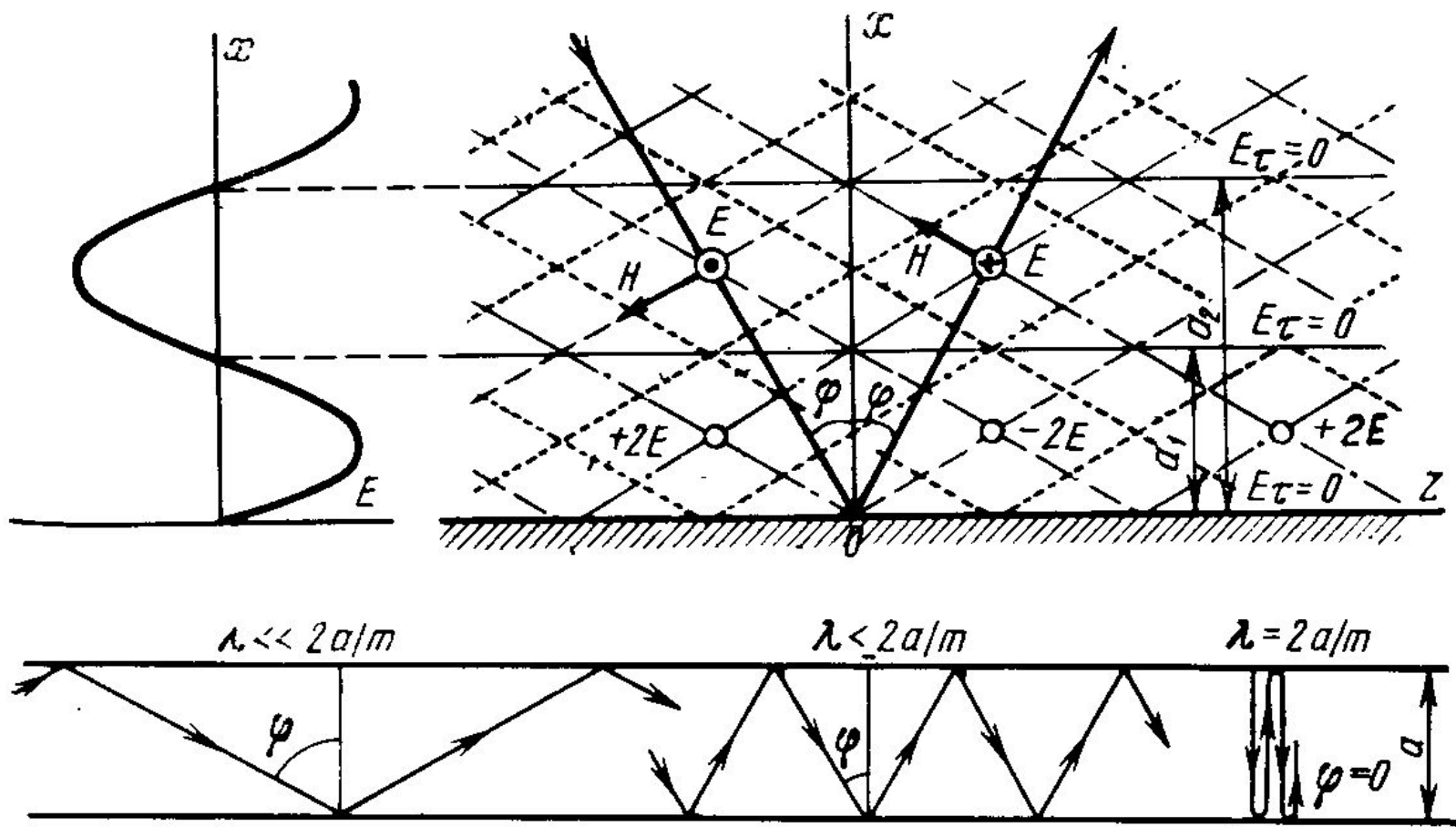
Концепция Бриллюэна (лучевая трактовка):

Поле в волноводе - результат сложения плоских однородных волн, называемых *парциальными*, многократно отраженных от его граничных поверхностей.

Парциальная ТЕМ-волна распространяется вдоль линии, образующей угол с осью z . В силу этого путь, пройденный за одно и то же время фронтом волны вдоль оси z , больше, чем по направлению распространения, следовательно, фазовая скорость у волн E и H всегда превышает скорость света в среде.



Пояснение концепции Бриллюэна



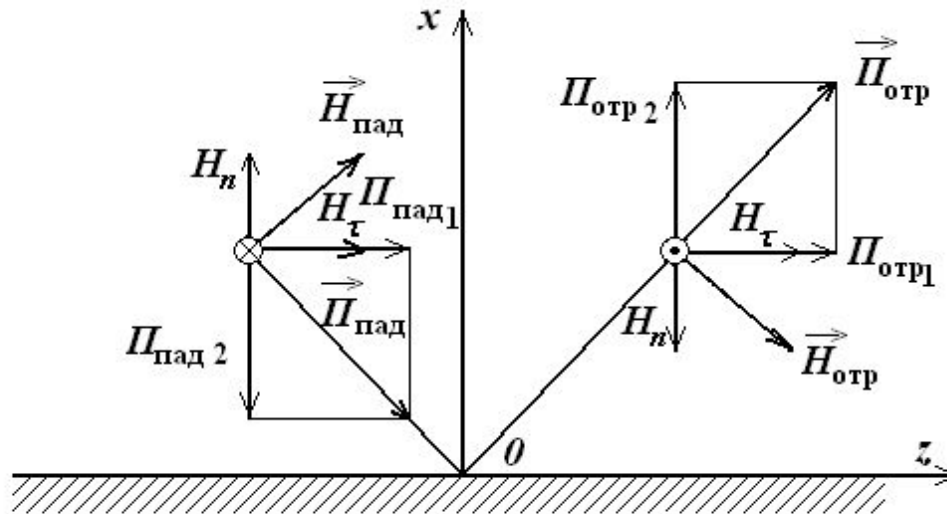


Рисунок 1. 3 – Разложение волны в волноводе

Условие размещения плоскости, проходящей через узлы стоячей волны электрического поля:

$$\chi x = \pi m \quad \text{или} \quad a = \frac{m\pi}{\chi} = \frac{m\pi}{k \cos \varphi} = \frac{m\lambda}{2 \cos \varphi}, \quad (1.11)$$

где $m = 0, 1, 2, \dots$ - число полуволн, укладывающихся между проводящими пластинами. Размер волновода ограничивает диапазон длин волн, которые способны в нем распространяться.

Поле поперечно-магнитных волн:

$$E_z = \sum_m \sum_n B_{mn} \sin\left(\frac{m\pi}{a}x\right) \sin\left(\frac{n\pi}{b}y\right) \cdot \exp(-\gamma_{mn}z) \quad , \quad (1.12)$$

поперечный волновой коэффициент волновода:

$$\chi_{mn} = \sqrt{\left(\frac{m\pi}{a}\right)^2 + \left(\frac{n\pi}{b}\right)^2} \quad , \quad (1.13)$$

Каждой комбинации m и n соответствует своя структура поля, т.

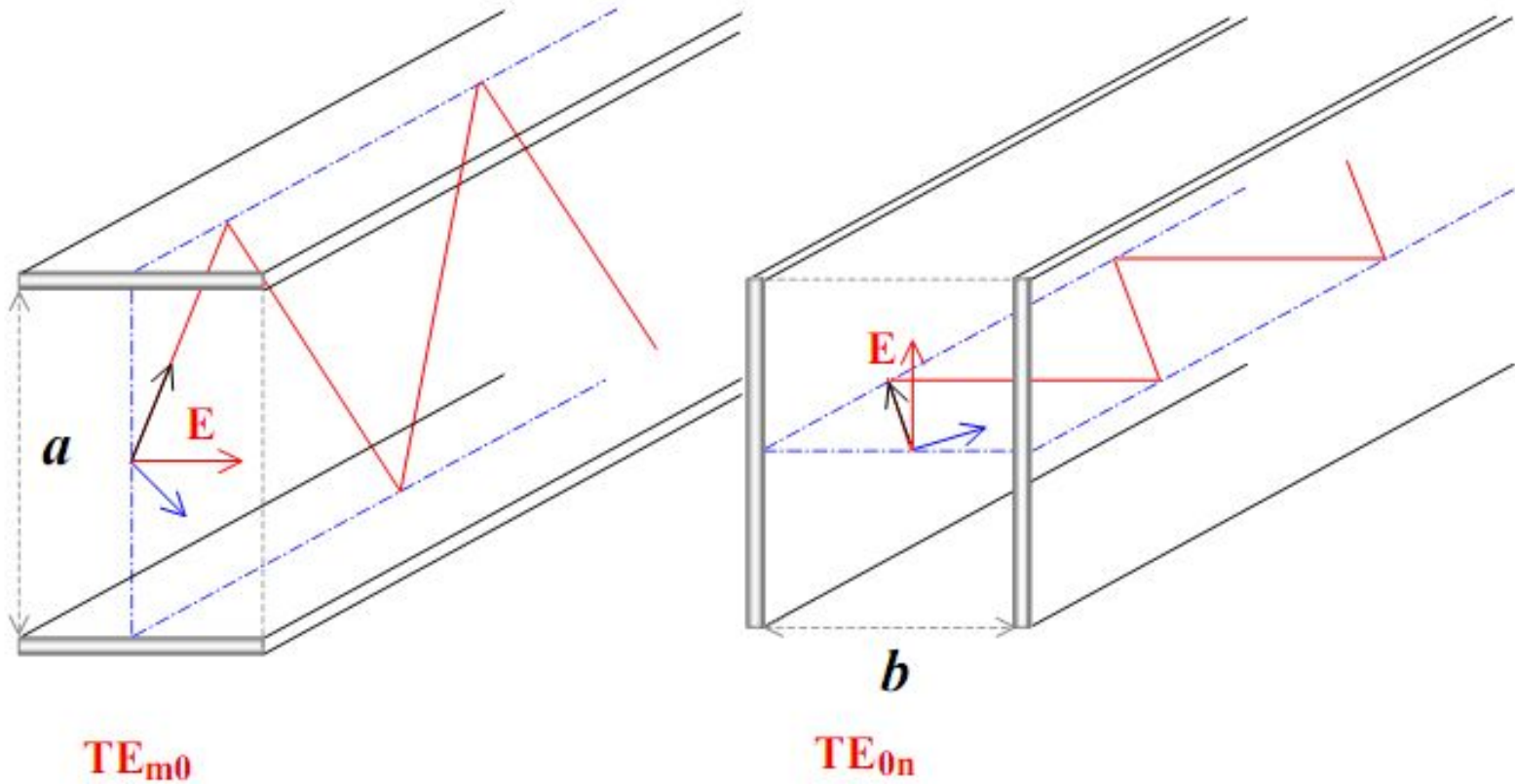
е. мода.

Волна, имеющая минимальную критическую частоту из всех возможных волн, относящихся к рассматриваемому классу, называется *основной* или *волной основного типа*.

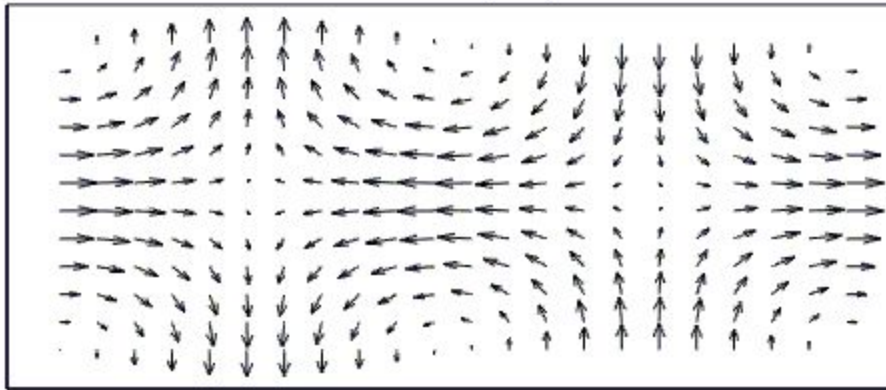
Характеристическое сопротивление волновода:

$$Z_{TM} = \frac{E_x}{H_y} = \frac{E_y}{H_x} = W_0 \sqrt{1 - \left(\frac{f_{кр}}{f}\right)^2} = W_0 \sqrt{1 - \left(\frac{\lambda}{\lambda_{кр}}\right)^2} \quad . \quad (1.14)$$

Механизм распространения ТЕ-волн



E_x and E_z in the plane $y = 0$.



$-z = a$

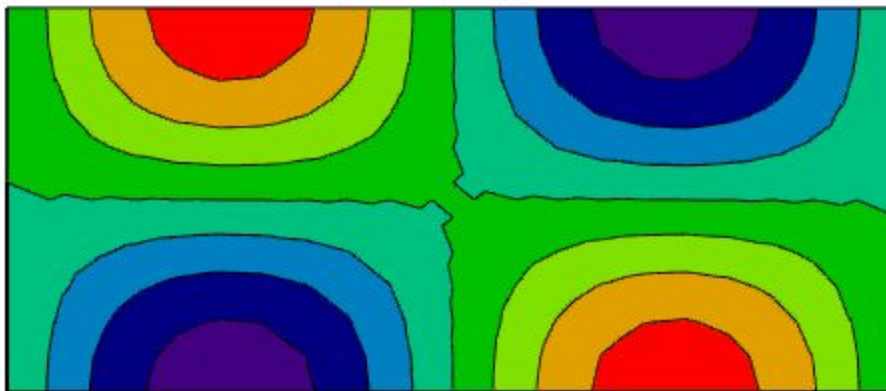
For the TM mode
 $m = 1$
 at time (in periods, T_p)

$$\frac{\text{time}}{T_p} = 0.000$$

$-z = 0$

(e_{zC}, e_{xC})

H_y in the plane $y = 0$.



$-z = a$

For the TM mode
 $m = 1$
 at time (in periods, T_p)

$$\frac{\text{time}}{T_p} = 0.000$$

$-z = 0$

h_{yC}

$|$
 $z = 0$

$|$
 $z = \lambda_z$

Поле поперечно-электрических волн:

$$H_z = \sum_m \sum_n A_{mn} \cos\left(\frac{\pi m x}{a}\right) \cos\left(\frac{\pi n y}{b}\right) \exp(-\gamma_{mn} z) \quad . \quad (1.15)$$

Характеристическое сопротивление волновода:

$$Z_{TE} = \frac{E_x}{H_y} = -\frac{E_y}{H_x} = \frac{W_0}{\sqrt{1 - \left(\frac{f_{кр}}{f}\right)^2}} = \frac{W_0}{\sqrt{1 - \left(\frac{\lambda}{\lambda_{кр}}\right)^2}} \quad . \quad (1.16)$$

Низшим типом волн среди H -волн является волна H_{10} , для которой $\lambda_{крH_{10}} = 2a$.

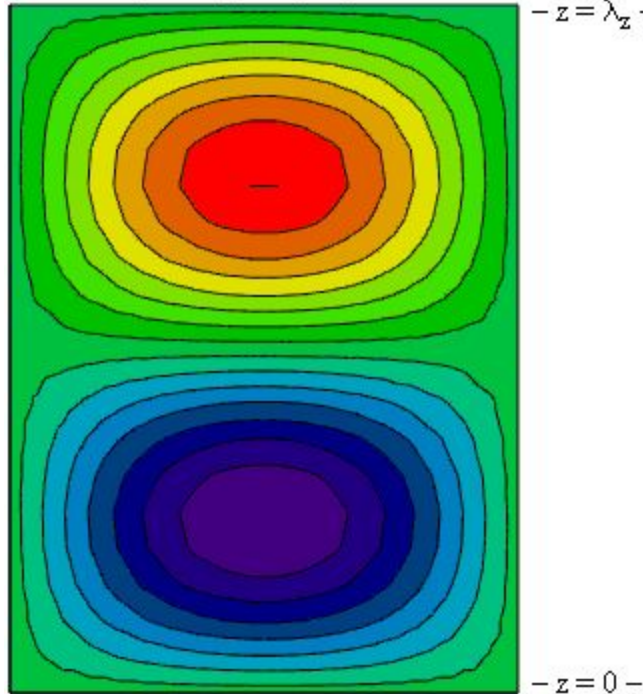
Для данной волны мощность, переносимая по волноводу, определяется выражением:

$$P = E_0^2 \frac{ab}{4W_0} \sqrt{1 - \left(\frac{\lambda_0}{2a}\right)^2} \quad . \quad (1.17)$$

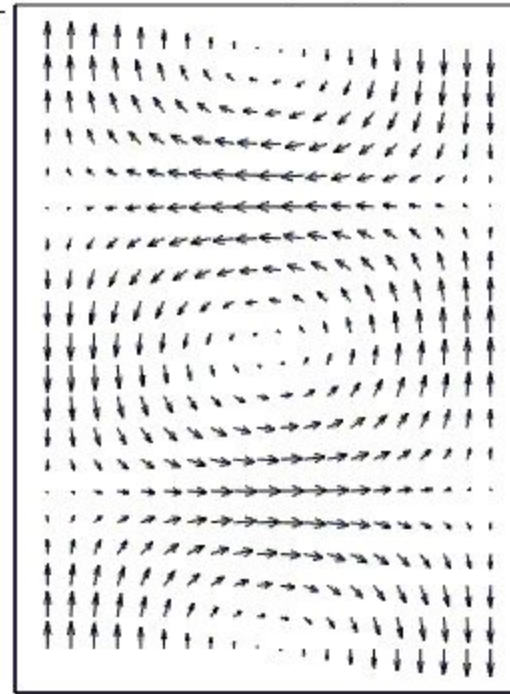
For the TE mode
 $m = 1, n = 0$

At time (in periods, T_p) $\frac{\text{time}}{T_p} = 0.000$

E_y in the plane $y = y_{obs}$.



H_x and H_z in the plane $y = y_{obs}$.



E_y

$x = 0$

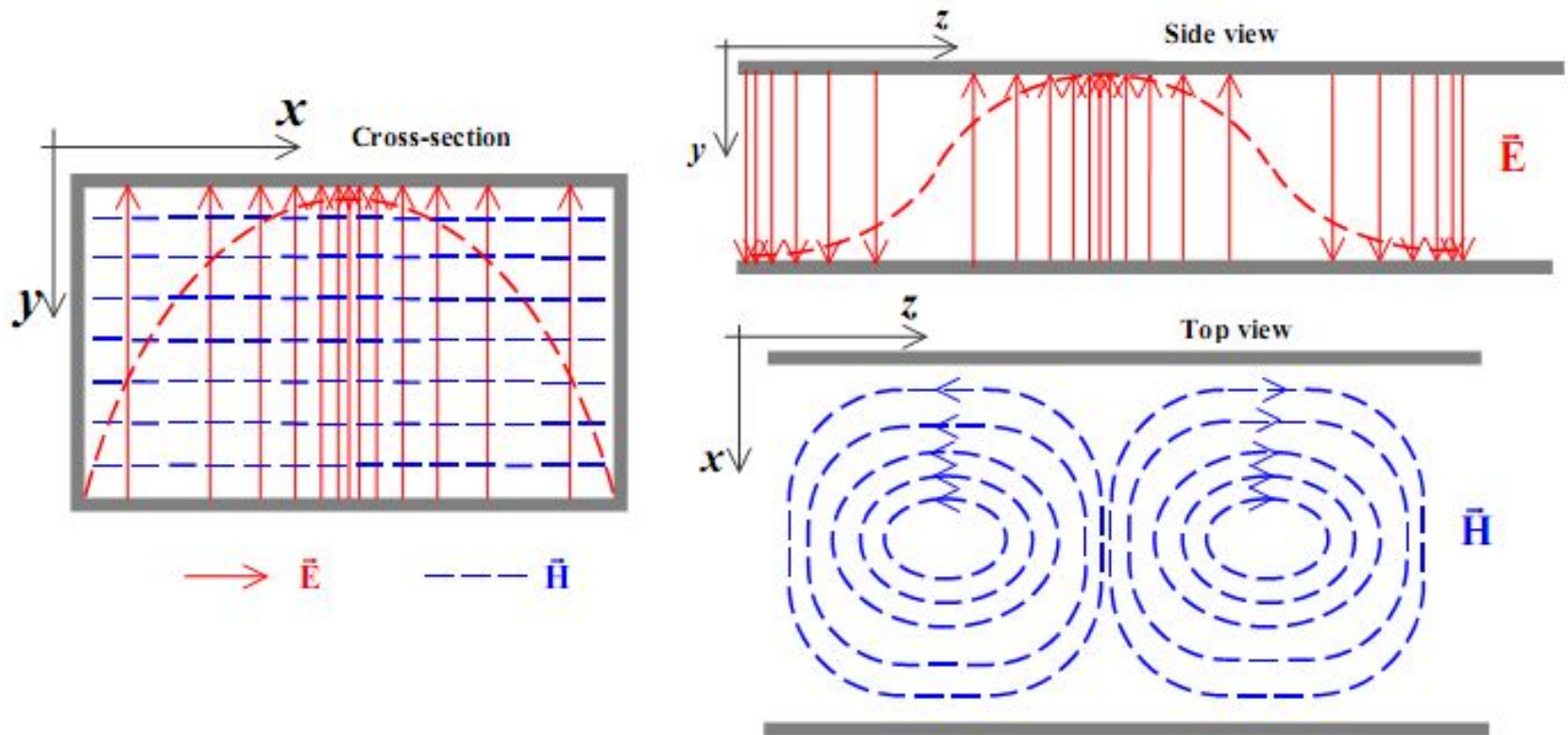
$x = a$

(H_x, H_z)

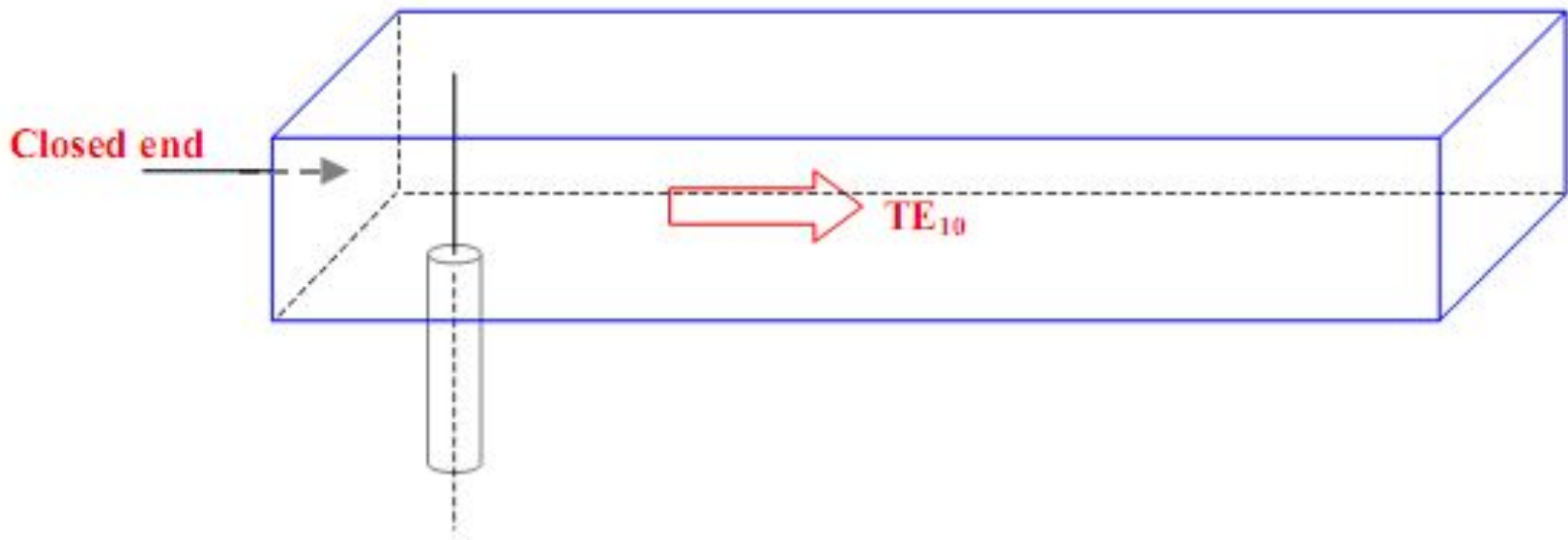
$x = 0$

$x = a$

Структура поля волны Н₁₀



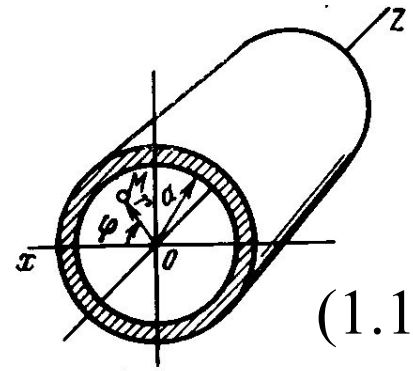
Способ возбуждения волны Н₁₀



Круглый волновод радиусом a .

Поле ТМ-волн:

$$E_z = \sum_m \sum_n B_{mn} J_m \left(\frac{v_{mn}}{a} \rho \right) \cos(m\varphi) \exp(-\gamma_{mn} z) \quad (1.18)$$



$$\left(f_{кр} \right)_{TM} = \frac{c v_{mn}}{2\pi a \sqrt{\epsilon \mu}}, \quad \left(\lambda_{кр} \right)_{TM} = \frac{2\pi a}{v_{mn}}, \quad (1.19)$$

где $J_m(\cdot)$ - функция Бесселя m -го порядка;

v_{mn} - корни уравнения $J_m(v) = 0$.

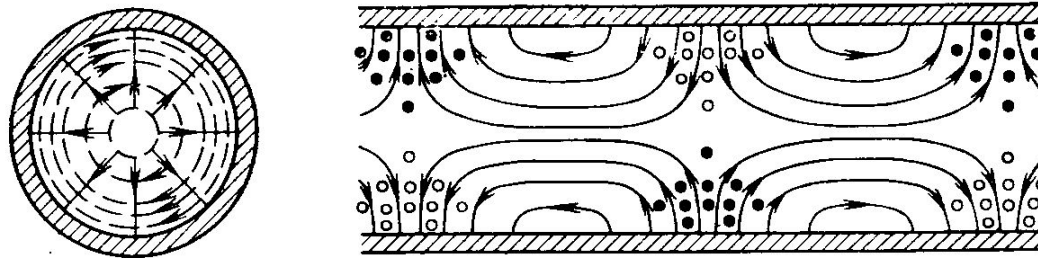


Рисунок 1.4 – Структура поля волны E_{01} (волны низшего типа)

Поле ТЕ-волн:

$$H_z = \sum_m \sum_n A_{mn} J_m \left(\frac{v'_{mn}}{a} \rho \right) \cos(m\varphi) \exp(-\gamma_{mn} z) \quad (1.20)$$

$$\left(f_{кр} \right)_{TE} = \frac{c v'_{mn}}{2\pi a \sqrt{\epsilon\mu}}, \quad \left(\lambda_{кр} \right)_{TE} = \frac{2\pi a}{v'_{mn}}, \quad (1.21)$$

где v'_{mn} - корни уравнения $J'_m(v) = 0$.

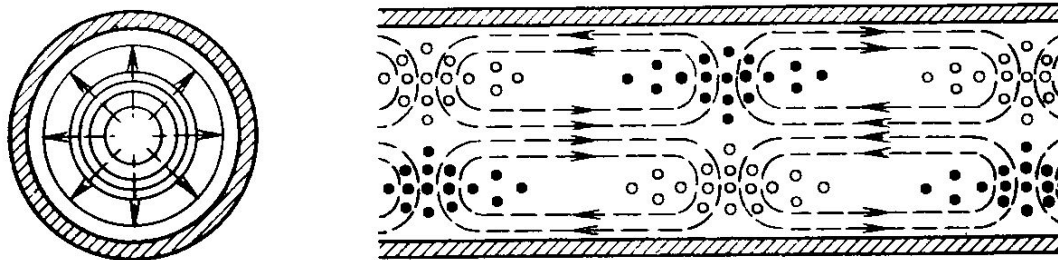


Рисунок 1.5 – Структура поля волны H_{01} (волны низшего типа)